

برآورد خطر زمینلرزه و پهنه‌بندی لرزه‌ای استان ایلام به دو روش تعیینی و احتمالاتی

محمد رضا سپاهوند^۱، افسانه نصرآبادی^۲، معصومه اسکندری^۳ و لیلا طاهری^۴

چکیده

برآورد خطر زمینلرزه و پهنه‌بندی لرزه‌ای به روش تعیینی و احتمالاتی در استان ایلام انجام گرفت. با توجه به نتایج روش تعیینی، استان ایلام دارای مناطقی با خطر پایین و متوسط می‌باشد. با توجه به نتایج روش احتمالاتی، نقشه خمهاهی هم شتاب سطح طراحی D.B.E و عمر مفید 50 سال مبنای پهنه‌بندی قرار گرفته، و بر این اساس، منطقه به چهار محدوده با سطوح خطر نسبی مختلف تقسیم بندی شده است. محدوده با خط بسیار پایین، که شتاب مورد انتظار در آن برای دوره بازگشت 475 سال کمتر از $0.1g$ است. منطقه با سطح خطر پایین، $0.1 < PGA < 0.15$ ، منطقه با خطر متوسط، $0.15 < PGA < 0.2$ و منطقه با سطح خطر بالا که شتاب مورد انتظار در آن بیش از $0.2g$ است. در بیشتر مناطق استان سطح نسبی خطر زلزله متوسط است و تنها در قسمت کوچکی از استان، انتهای جنوب شرقی آن، سطح خطر نسبی زمینلرزه پایین است.

واژه‌های کلیدی: خطر زمینلرزه، پهنه‌بندی لرزه‌ای، ایران، ایلام

Seismic hazard assessment and seismic hazard zoning of Ilam province using deterministic and probabilistic methods

Mohammad Reza Sepahvand, Afsaneh Nasrabadi, Masume Eskandari and Leila Taheri

Abstract

This paper presents a probabilistic hazard assessment of Ilam region in Zagros mountain, western Iran. Zagros is one of the most seismically active parts of Alpine-Himalayan seismic belt. We got a catalogue containing historical and instrumental, complete for magnitudes greater 4. To account for seismicity of regions near Ilam, area under study was extended and fault map then seismotectonic map was obtained. Considering seismic pattern in area, potential seismic sources were detected and modeled as volume sources. Using probabilistic method and choosing attenuation relationship, we obtained peak ground acceleration on bedrock in sites for exceedence probability 64%, 10% and 2% and life time 50 years. Considering four relatively hazard level, we zoned Ilam to four zones as high danger part, relatively high danger, intermediate and low seismic hazard level.

¹ عضو هیات علمی دانشگاه آزاد اسلامی واحد ایلام، دانشجوی دکتری زلزله شناسی پژوهشگاه بین المللی زلزله شناسی و مهندسی زلزله، m.sepahvand@iiees.ac.ir

² دانشجوی دکتری زلزله شناسی، پژوهشگاه بین المللی زلزله شناسی و مهندسی زلزله، a.nasrabadi@iiees.ac.ir

³ دانشجوی دکتری زلزله شناسی، موسسه ژئوفیزیک دانشگاه تهران، eskandary@ut.ac.ir

⁴ عضو هیات علمی دانشگاه آزاد اسلامی واحد اهر، دانشجوی دکتری زلزله شناسی موسسه ژئوفیزیک دانشگاه تهران، leilataheri@yahoo.com

Keywords: Seismic hazard, seismic hazard zoning, Ilam province, Iran**ایلام شباهت****مقدمه:**

رسوبی زاگرس دارد. از نظر جغرافیایی و بویژه زمین شناسی، استان ایلام بخشی از ارتفاعات غرب ایران یعنی زون لرزه‌زمین ساختی زاگرس می‌باشد.

امروزه تحلیل خطر شامل دو روش تعیینی و احتمالی می‌باشد. شناخت ما از چشمه‌های لرزه‌زا و پارامترهای مربوط به آنها و همچنین کاتالوگ زمینلرزه‌های منطقه و به طور کلی نسبت به پدیده زمینلرزه محدود می‌باشد و باعث ایجاد عدم قطعیتهایی در نتایج حاصل می‌گردد که اجتناب ناپذیر است. بنابراین شناخت این عدم قطعیتها و مقادیر آنها و همچنین میزان حساسیت نتایج خطر نسبت تغییرات پارامترهای ورودی می‌تواند کمک زیادی در تصمیم‌گیری در انتخاب این پارامترها و بدست آوردن نتایج قابل اعتمادتری نماید.

اندازه‌گیری و مشاهده

تحلیل خطر زمین‌لرزه روشی جهت بدست آوردن تخمینی از زلزله‌های آینده بر اساس شواهد موجود زمین‌شناسی و همچنین زلزله‌های ثبت شده گذشته می‌باشد. بنابراین شناخت و جمع‌آوری اطلاعات مربوط به زلزله‌های رخداده در گذشته یک منطقه، نقش اساسی در نتایج حاصل ایفا می‌کند. شناخت زمین‌لرزه‌های تاریخی بر اساس مدارک گوناگون موجود در متون تاریخی انجام می‌گیرد. با وجود اینکه زمین‌لرزه‌های تاریخی دقت کمی از نظر محل وقوع، شدت و بزرگاً دارند، ولی برای بدست آوردن دیدی کلی از لرزه‌خیزی منطقه مفید می‌باشدند. جهت فراهم نمودن شرایط همگن و یکنواخت داده‌ای تهیه کاتالوگ یکنواخت زمینلرزه از اهمیت خاصی برخوردار است. از این داده‌ها برای بررسی لرزه خیری به منظور درک قوانین عمومی مربوط به وقوع زمینلرزه برای حفظ جان بشر از اثر تخریبی این رویداد طبیعی، استفاده می‌شود. گستره N $31/5^{\circ}$ - $35/5^{\circ}$ و E 45° - $49/5^{\circ}$ برای برآورد خطر زمینلرزه به روش تعیینی و احتمالاتی در

زمینلرزه‌ها مهمترین خطرات طبیعی هستند که هر ساله شمار کثیری از جمعیت جهان گرفتار اثرات نامطلوب آن می‌شوند. جهت کاهش تلفات جانی و اقتصادی و نیز تبعات اجتماعی آن نیاز است بر اساس دانش کنونی و آخرین دستاوردها، برآورد قابل اعتماد از خطر زمینلرزه در نقاط مختلف ایران جهت طراحی و ساخت سازه‌های عمومی و پیشرفته انجام گیرد. در مناطق زلزله‌خیز هرگونه تصمیم‌گیری در مورد سازه‌های جدید و یا سازه‌های موجود و تصمیم‌گیری در مورد مناطق شهری باید با در نظر گرفتن اثرهای زلزله‌های احتمالی آینده باشد. اطلاعات لازم برای این منظور از تحلیل خطر لرزه‌ای بدست می‌آید.

سرزمین ایران در بخش میانی کوهزایی نوار آلپ-هیمالیا، قرار گرفته است و سطح بالایی از فعالیتهای لرزه‌ای را نشان می‌دهد. از نظر لرزه‌زمین ساختی ایران را می‌توان به نوار چین خورده زاگرس، البرز، کوه داغ و ایران مرکزی و دشت لوت تقسیم نمود (بربریان، 1976). کمربند چین خورده-رانده زاگرس یکی از ساده‌ترین و لرزه‌خیزترین آنهاست (تاتار و همکاران، 2004). این کمربند چین خورده-رانده به عنوان بخشی از کمربند کوهزایی آلپ-هیمالیا، یکی از جوانترین و فعال‌ترین مناطق برخورد قاره‌ای زمین است. از نظر ساختمانی، شکل‌گیری زاگرس مربوط به جنبش همگرای دائم صفحه عربستان در جنوب غرب و ریزقاره ایران مرکزی در شمال شرق است که ناشی از حرکت به سوی شمال شرق صفحه عربستان-آفریقا نسبت به اوراسیاست (تالچالنکو و برد، 1974؛ بربریان، 1995). استان ایلام یکی از استانهای غربی کشور می‌باشد. این استان بین طولهای جغرافیایی 34° - 48° شمالي و عرضهای جغرافیایي $32/05^{\circ}$ - 45° شرقی و در ارتفاعات زاگرس واقع شده است. بررسیهای زمین‌شناسی و ویژگی‌های زمین‌شناسی و ساختاری رخنmodهای سنگی استان

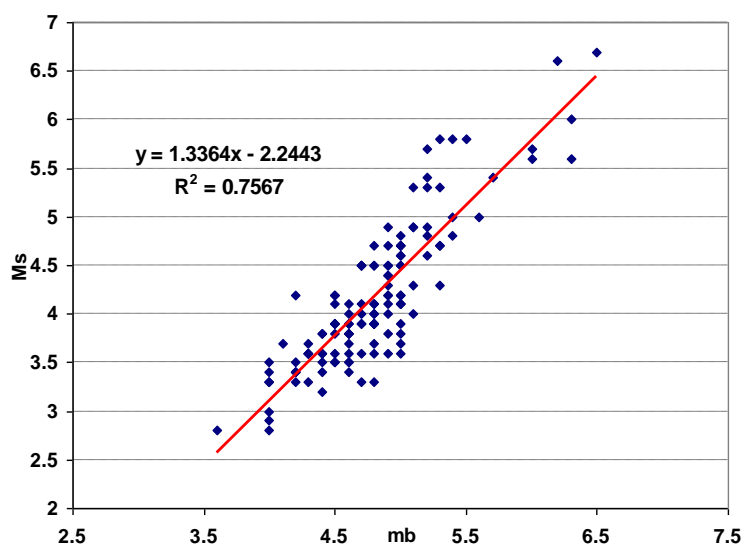
زمینلرزه‌های مربوط به این منطقه استفاده گردید (جدول ۱ و شکل ۱).

جایگاه بیشتر زمینلرزه‌ها، گسله‌های جنبا هستند. گسله‌ها عبارت از شکستگی‌های پوسته زمین هستند که در راستای آنها جابجا‌یابی قابل ملاحظه (بزرگتر از ۰/۵ میلی‌متر و معمولاً خیلی بزرگتر از این حداقل جابجا‌یابی) روی داده است.

استان ایلام انتخاب شده و پنهانه بندی خطر زمینلرزه در این منطقه انجام گرفته است. کاتالوگ یکنواختی از زمینلرزه‌های محدوده مورد مطالعه تهیه شده است. این کاتالوگ شامل ۱۵ زمینلرزه تاریخی و ۲۱۰ زمینلرزه دستگاهی از سال ۱۹۱۷-۲۰۰۷ با بزرگای $M_s > 4$ می‌باشد. پس از حذف پسلرزه‌ها و پیشلرزه‌ها با روشهای موجود از کاتالوگ زمینلرزه‌های دستگاهی، تعداد ۱۴۲ زمینلرزه بدست آمد. در این تحقیق جهت تبدیل به m_b از رابطه میان M_s و m_b بدست آمده از کاتالوگ

رابطه	محدوده بزرگی	تعداد زمینلرزه‌ها	کاتالوگ
$M_s = 1/79m_b - 4/32$	$4/0 \leq m_b \leq 6/2$	263	ISC & USGS
$M_s = 1/34 m_b - 2/24$	$4/0 \leq m_b \leq 6/5$	131	(با استفاده از کاتالوگ داده‌ها در این تحقیق)

جدول ۱: رابطه تجربی بین بزرگی m_b و M_s در گستره مورد مطالعه



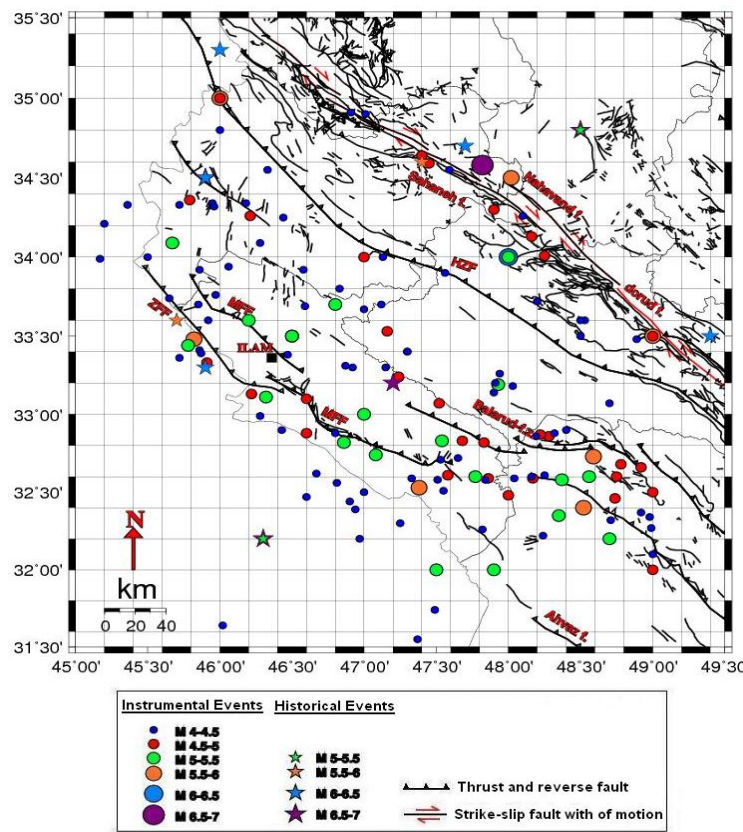
شکل ۱: رابطه بین بزرگی m_b و M_s با استفاده از کاتالوگ داده‌های زمینلرزه در گستره مورد مطالعه

این احتمال وجود دارد که گسله‌هایی که در عهد حاضر جنبا بوده و زمینلرزه‌های مخرب را بوجود آورده‌اند، در

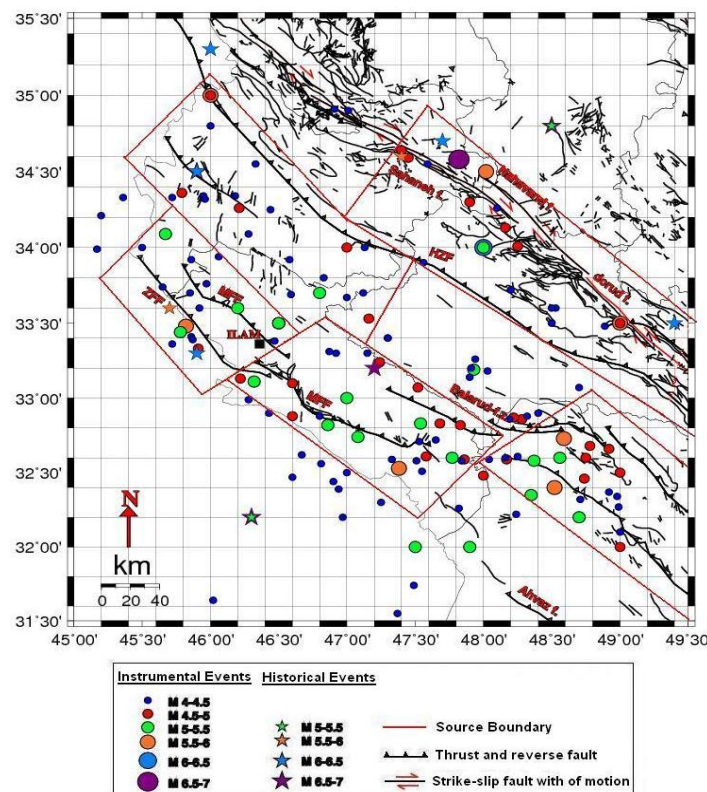
گسل جنبا گسلی است که در طی دوره زمانی آینده احتمال وقوع زمینلرزه در اثر فعالیت آن احساس می‌گردد.

قدیمی بار دیگر از خود فعالیت نشان دهنده. شکل (2) گسل های موجود در گستره مورد مطالعه را نشان می‌دهد.

آینده دور یا نزدیک با جنبش مجدد خود زمینلرزه‌های دیگری را موجب شوند و گاهی ممکن است گسلهای



شکل 3: نقشه رومکز زمینلرزه‌های رخداده (زمینلرزه‌های تاریخی و دستگاهی) بعد از حذف پیش‌لرزه و پسلرزه‌ها در گستره مورد مطالعه.



شکل 4: نقشه گسلهای منطقه، رومرکر زمینلرزه‌های رخداده (زمینلرزه‌های تاریخی و دستگاهی) و چشمehهای لرزه‌ای در گستره مورد مطالعه.

$$\log Y = aM_w + bX - d \log X + c_i s_i + \sigma p \quad (1)$$

که در آن Y پارامتر جنبش نیرومند زمین (PGA-) (PGV-PGD)، X فاصله کانونی و s_i نوع خاک محل می‌باشد. ضریب d برای امواج حجمی برابر 1 و برای امواج سطحی برابر 0/5 می‌باشد. در این رابطه بیشینه شتاب بر حسب متر بر مجدور ثانیه، بیشینه سرعت بر حسب متر بر ثانیه و بیشینه تغییر مکان بر حسب متر سنجیده می‌شود. جدول (2) ضرایب کاهندگی برای بیشینه شتاب زمین در رابطه کاهندگی زارع و همکاران (1999) را نشان می‌دهد. در این پژوهش بدليل قرارگرفتن گستره مورد مطالعه در زون لرزه‌زنین ساختی زاگرس، از رابطه مربوط به پهنه زاگرس(افقی) جهت بدست آوردن بیشینه شتاب استفاده گردید.

روش و محاسبه

۱- برآورد خطر زمینلرزه به روش تعیینی در گستره مورد مطالعه

برآورد پارامترهای جنبش نیرومند در یک ساختگاه به روش تعیینی، براساس ویژگیهای لرزه‌زمینساختی منطقه استوار است. این روش، مبتنی بر تشخیص مؤثرترین چشمehه زمینلرزه است که با فرض وقوع بیشینه زمینلرزه در آن چشمehه و محاسبه جنبش‌های زمین در ساختگاه، چشمehه مورد نظر بیشترین اثر را نسبت به چشمehه‌های دیگر، در آن ساختگاه اعمال کند. بدین منظور لازم است که چشمehه‌های بالقوه زمینلرزه در گستره مورد مطالعه تعیین گردند (شکل 4). در این پژوهش بیشینه زمینلرزه مشاهده شده در کاتالوگ داده‌ها برای هر چشمehه سطحی، مورد استفاده قرار گرفت. براساس اطلاعات موجود، رابطه کاهندگی زارع و همکاران (1999)، برای انجام محاسبات در گستره مورد مطالعه انتخاب گردید.

2

ناحیه/مؤلفه	a	b	c ₁	c ₂	c ₃	c ₄	σ	جدول ضرایب
زاگرس (افقی)	0/399	-0/0019	-1/047	-1/065	-1/020	-1/975	0/329	

کاهندگی برای بیشینه شتاب زمین در رابطه کاهندگی زارع و همکاران (1999)

شبکه‌ای از نقاط (به فاصله هر 0/25 درجه عرض و طول جغرافیایی) و با استفاده از بیشینه بزرگیهای بدست آمده، برآورد خطر زمینلرزه برای هر نقطه شبکه با استفاده از برنامه‌ای که نوشته شد، انجام گردید و نهایتاً خممهای همشتاپ در فاصله هر 0/1g در گستره مورد مطالعه ترسیم شده است. در شکل (5) نقشه‌های پهنه‌بندی خطر زمینلرزه به روش قطعی نشان داده شده است. در این شکل میزان خطر بصورت خممهای همشتاپ نشان داده

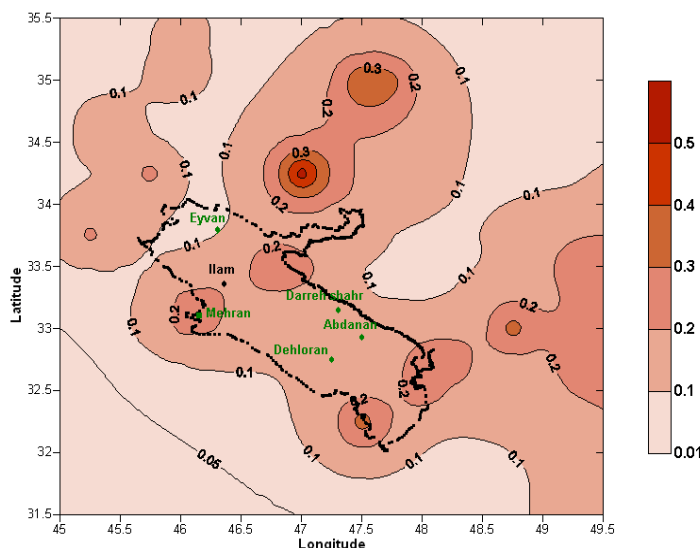
در گستره مورد مطالعه، نقشه پهنه‌بندی زمینلرزه بصورت زونهایی با درجات مختلف خطر لرزه‌ای بر اساس داده‌های زمین‌شناختی، زمین‌ساختی، لرزه‌شناختی و ژئوفیزیکی تهیه شده است. این نقشه‌ها هنگامیکه مطالعه موردي و خاص برای ساختگاه معین امکان نباشد، ابزار عملی مناسب و راهنمای مفیدی برای طراحی سازه‌های مقاوم در برابر زمینلرزه به شمار می‌آیند (میرزاپی، 1997). همچنین با تقسیم ناحیه مورد نظر به صورت

زلزله‌های ممکن را (معمولًا بیشتر از یک مقدار مینیمم) بر روی همه چشممهای موجود، در همه فواصل ممکن را در نظر می‌گیرد و یک احتمال کلی از ترکیب نتایج را می‌دهد. بنابراین بکار بردن روش احتمالاتی اجازه می‌دهد سازه‌ای بر اساس احتمال وقوع مورد نظر طراحی شود. اولین گام در تحلیل خطر لرزه‌ای به روش احتمالاتی مرسوم توسط کرنل (1968) برداشته شده که توسط ریتر (1990) توصیف شده است. جهت انجام محاسبات احتمالاتی از برنامه کامپیوتری SeisriskIII (بندر و پارکینز، 1987) استفاده گردید.

شده است. قابل ذکر است که تمام شتابها بر روی سنگ کف محاسبه شده‌اند.

2-برآورد خطر زمینلرزه به روش احتمالاتی

پارامترهای جنبش زمین که از تحلیل خطر زمینلرزه به روش تعیینی بدست می‌آید حاصل یک بزرگای خاص بر روی یک چشممه لرزاگهای خاص و در یک فاصله مشخص از ساختگاه است و در آن توجهی به احتمال وقوع زلزله با بزرگاهای دیگر و فاصله‌های دیگر نمی‌شود. در نتیجه بر اساس این روش قادر نیست، به طور کیفی میزان محافظه‌کاری در طراحی یک سازه را تشخیص دهد. در مقایسه، تحلیل خطر به روش احتمالاتی بزرگی همه

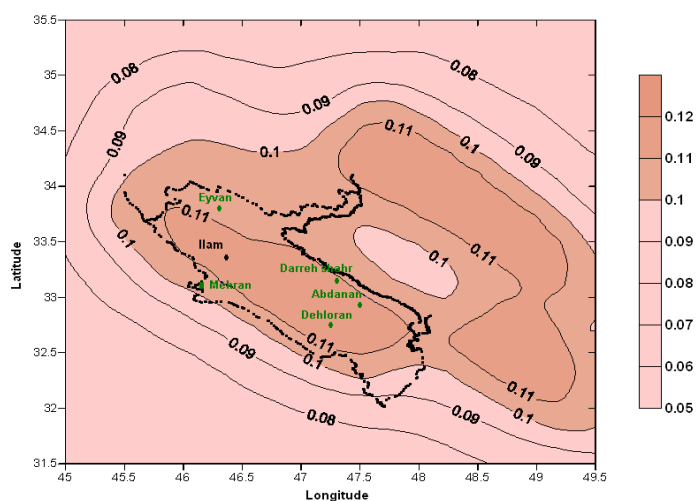


شکل 5: نقشه پهنه‌بندی شتاب زمینلرزه در استان ایلام و نواحی پیرامون بر اساس راهکار برآورد خطر زمینلرزه به روش تعیینی

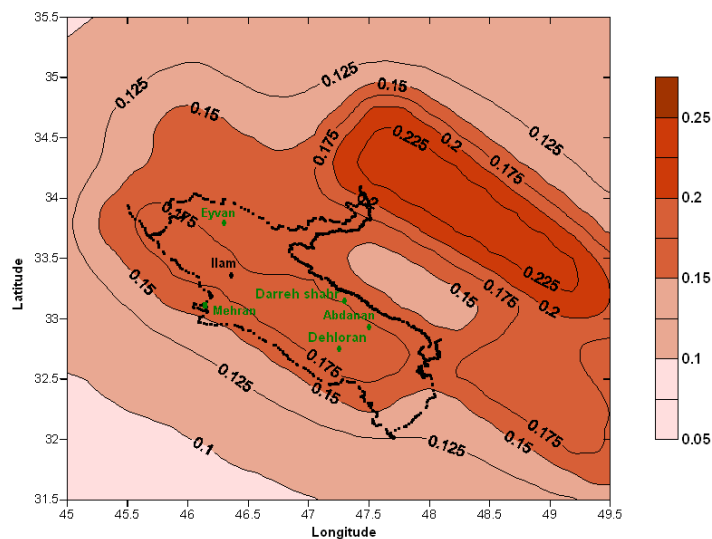
می‌باشد و سطح سوم، سطح حداکثر توصیه شده برای طراحی (M.C.E)، دوره بازگشت 2475 سال یا ٪ ۲ احتمال وقوع در طول عمر مفید 50 سال می‌باشد. قابل ذکر است که محاسبات فوق برای شتاب افقی بر روی سنگ کف و با استفاده از رابطه کاہنگی زاگرس (زارع و همکاران، 1999) انجام شد و نتایج در شکلهای (6) الی (8) قابل مشاهده می‌باشد.

1-2- برآورد خطر زمینلرزه برای دوره بازگشتهای 475 و 50 سال

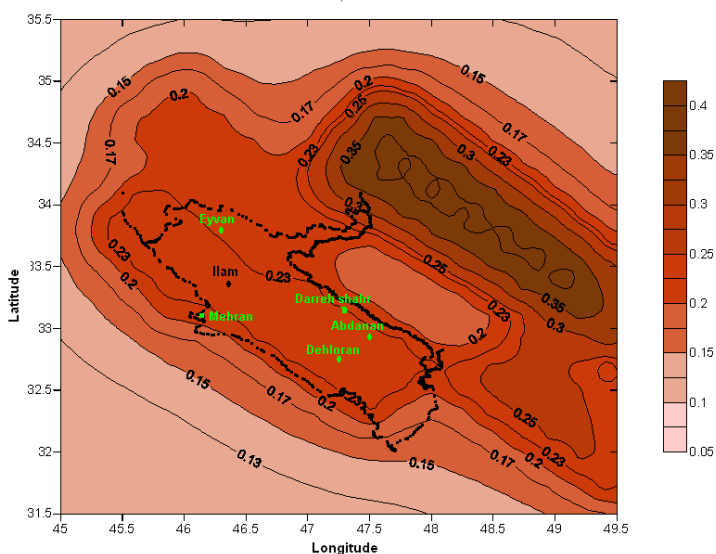
محاسبات روش احتمالی برای سه سطح خطر مختلف انجام شد. سطح اول خطر زلزله‌ای، سطح مبنای بهره‌برداری (O.B.E)، با دوره بازگشت 50 سال، ٪ 64 احتمال وقوع در طول عمر مفید 50 سال می‌باشد. سطح دوم، سطح مبنای طراحی (D.B.E)، دوره بازگشت 475 سال یا ٪ 10 احتمال وقوع در طول عمر مفید 50 سال



شکل 6: نتایج روش احتمالی برای شتاب افقی، دوره بازگشت 50 سال (64٪ احتمال وقوع در 50 سال عمر مفید سازه، سطح مبنای بهره‌برداری (O.B.E)، برای استان ایلام و نواحی پیرامون.



شکل 7: نتایج روش احتمالی برای شتاب افقی، دوره بازگشت 475 سال (10٪ احتمال وقوع در 50 سال عمر مفید سازه، سطح مبنای طراحی (D.B.E)، برای استان ایلام و نواحی پیرامون



شکل 8: نتایج روش احتمالی برای شتاب افقی، دوره بازگشت 2475 سال (2٪ احتمال وقوع در 50 سال عمر مفید سازه، سطح حداکثر توصیه شده برای طراحی (M.C.E)، برای استان ایلام و نواحی پیرامون.

برای سطح طراحی $0/12g$ (D.B.E) و حداکثر $0/17g$ است (شکل 7). شکل (8) نقشه خمهاي همشتاب را برای دوره بازگشت 2475 سال و سطح طراحی M.C.E نشان می دهد. برای این دوره بازگشت، حداقل شتاب مورد انتظار در استان $0/15g$ و حداکثر $0/23g$ است. نقشه خمهاي هم شتاب سطح طراحی D.B.E و عمر مفید 50 سال مبنای پهنه بندی قرار گرفته است. بر این اساس، منطقه مورد مطالعه به چهار محدوده با سطوح خطر نسبی مختلف تقسیم بندی شده است. محدوده با خط بسیار پایین، که شتاب مورد انتظار در آن برای دوره بازگشت 475 سال کمتر از $0/1g$ است. منطقه با سطح خطر پایین، $0/1<PGA<0/15$ ، منطقه با خطر متوسط، $0/15<PGA<0/2$ و منطقه با سطح خطر بالا که شتاب مورد انتظار در آن بیش از $0/2g$ است. در بیشتر مناطق استان سطح نسبی خطر زلزله متوسط است و تنها در قسمت کوچکی از استان، انتهای جنوب شرقی آن، سطح خطر نسبی زمینلرزه پایین است.

مطالعه حاضر، میزان پارامتر جنبش نیرومند زمین را روی سنگ بستر لرزهای نشان می دهد. پیشنهاد می شود، برای دقت بیشتر و رساندن شتاب وارد بر سازه ها به روی سطح، مطالعات ریزپهنه بندی صورت گیرد.

References:

- Alsinawi, Sahil A and Al Qasrani, Z.O.G. 1992, Hazard Considerations for Iraq" The²⁹ International Congress, Vol. 3, 21 August-3 September, Koyoto.
- Alsinawi, Sahil, A. and Issa, Amer, A., 1986. Seismicity and Seismotectonics of Iraq, Jour. Geol. Soc. of Iraq-, 19, 39-59.
- Bender B. and Perkins, D. M. 1987, SEISRISK III. A Computer Program for Seismic Hazard Estimation US Geological Survey, Bulletin 1772.
- Berberian, M., 1976, Contribution to the seismotectonics of Iran (Part II): Geol. Surv. Iran, Rep. 39.
- Berberian, M., 1995, Master blind thrust faults hidden under the Zagros folds: active basement tectonics and surface

نتیجه گیری

پهنه بندی زمینلرزهای استان ایلام و نواحی اطراف به روش تعیینی انجام گردید. برآورد پارامترهای جنبش نیرومند در یک ساختگاه به روش تعیینی، براساس ویژگیهای لرزه زمینساختی منطقه استوار است. مجموعاً 5 چشمۀ بالقوه زمین لرزه در گستره مورد مطالعه (استان ایلام و نواحی اطراف) بر اساس داده های زمین شناختی، زمین ساختی، زمینلرزهای و ژئوفیزیکی تعیین شده است. بیشینه توان لرزه زایی چشمۀ ها و همچنین روابط کاهندگی مناسب تعیین و انتخاب گردیدند. نهایتاً میزان خطر زمینلرزهای برای هر نقطه از شبکه با استفاده از برنامه نوشته شده در این رابطه، برآورد شده و خمهاي همشتاب در فواصل $0/1g$ در گستره مورد مطالعه ترسیم گردید. با توجه به شکل (5)، استان ایلام دارای مناطقی با خطر پایین و متوسط می باشد. حداقل شتاب مورد انتظار در منطقه $0/11g$ و حداکثر $0/31g$ است. مرکز استان ایلام، شهرستان ایلام، در منطقه با سطح خطر متوسط قرار دارد. در مطالعه خطر زمینلرزه بر اساس روش احتمالاتی، پس از بررسی مجموعه اطلاعات قابل دسترس زمین شناسی و زلزله شناسی، چشمۀ های بالقوه لرزه زا و بیشینه توان لرزه زایی هر چشمۀ در قالب M_{max} ، مشخص و سپس جنبش نیرومند زمین برآورد شده است. منطقه به 400 سایت مشبك شده و در هر سایت با استفاده از رابطه کاهندگی زارع و همکاران (1999)، پارامتر جنبش نیرومند زمین، PGA . برای سطح طراحی مختلف، $M.C.E$ و $D.B.E$ و $O.B.E$ و عمر مفید 50 سال، محاسبه شده است. نقشه خمهاي همشتاب برای احتمال فزوونی 64% (سطح طراحی $O.B.E$) و عمر مفید سازه 50 سال (دوره بازگشت 50 سال) در شکل (6) آورده شده است. حداقل شتاب مورد انتظار در منطقه $0/05g$ و حداکثر $0/12g$ است. بر مبنای این نقشه برای دوره بازگشت 50 سال، حداقل شتاب مورد انتظار در استان ایلام $0/09g$ و حداکثر $0/11g$ است. حداقل شتاب مورد انتظار برای استان ایلام در دوره بازگشت 475 سال

- morphotectonics, *Tectonophysics*, 241, 193–224.
- Mirzaei, N., 1997. Seismic Zoning of Iran, Ph.D. Dissertation: Institute of Geophysics, State seismological Bureau, Beijing, P.R. China, 134 PP.
 - Reiter, L., 1990, Earthquake hazard analysis: issues and insights: Colombia University Press, New York.
 - Sahil. A. Alsinawi and Zia O. Al-Qasrani; 2003. Earthquake hazards considerations for Iraq: Fourth International Conference of Earthquake Engineering and Seismology, 12-14 May Tehran, Islamic Republic of Iran.
 - Sahil, A. & Alsinawi, 2002, Seismicity, seismotectonic, crustal structure and attenuation data on Iraq: The RELEMR Meeting, Antakya, Turkey, 12-14 December.
 - Tatar, M., Hatzfeld, D. and Ghafory-Ashtiany, M., 2004, Tectonics of the Central Zagros (Iran) deduced from microearthquakes seismicity, *Geophys. J. Int.*, 156, 255-266.
 - Tchalenko, J. and Braud, J., 1974. Seismicity and structure of the Zagros (Iran)- the main recent fault between 33 and 35° N, *Phil. Trans. Roy. Soc. London*, 277, 1-25.
 - Zare, M., Bard, P. Y. and Ghafory-Ashtiany, M., 1999, Site characterizations for the Iranian strong motion network, *Soil Dynamics and Earthquake Engineering*, 18, 101-123